

INTRODUÇÃO ÀS IMAGENS DIGITAIS E ÀS TÉCNICAS DE ANÁLISE DIGITAL:

Curso de Iniciação a Análise Digital de Dados de Sensoriamento Remoto

(Utilização)

Formulário dos exercícios

(Respostas dos exercícios)

T. T. Alföldi
Applications Division

Nota Técnica 78-1
Impressão Marcio 1978
Re-impressão Outubro 1986
Versão Digital Agosto 1996

Canada Centre for Remote Sensing
Natural Resources Canada
(antepassado: Energy, Mines and Resources Canada)

Ottawa, Canada

FIGURA 1
Imagem digital, 2 bandas, 7 x 7, linhas intercaladas

Início

5	3	4	5	4	5	5	5	5	4	6	7	7	7	2	2	3	4	4	4	6	2	4
---	---	---	---	---	---	---	---	---	---	---	---	---	---	---	---	---	---	---	---	---	---	---

6	5	5	6	5	2	2	3	3	6	6	8	5	3	5	7	6	6	8	2	2	6	6
---	---	---	---	---	---	---	---	---	---	---	---	---	---	---	---	---	---	---	---	---	---	---

9	8	7	3	4	5	6	8	8	7	3	6	8	8	8	7	4	3	5	8	8	8	7
---	---	---	---	---	---	---	---	---	---	---	---	---	---	---	---	---	---	---	---	---	---	---

1	3	6	8	7	2	3	2	4	5	8	7	1	0	0	4	6	7	3	3	2	1	3
---	---	---	---	---	---	---	---	---	---	---	---	---	---	---	---	---	---	---	---	---	---	---

6	7	0	0	0	0
---	---	---	---	---	---

Fim

FIGURA 3
Mapas de níveis de cinza.

PIXELS

	1	2	3	4	5	6	7
L							
I							
N							
H							
A							
S							

BANDA 'A'

PIXELS

	1	2	3	4	5	6	7
L							
I							
N							
H							
A							
S							

BANDA 'B'

FIGURA 4
Perfil de intensidade

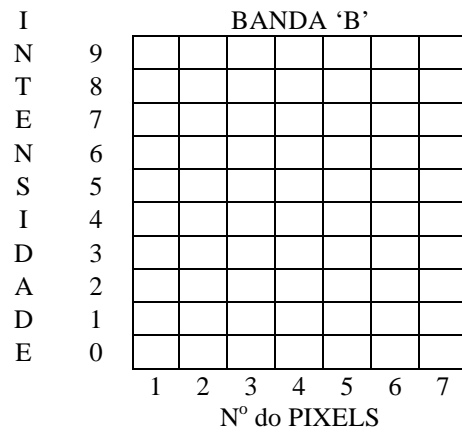
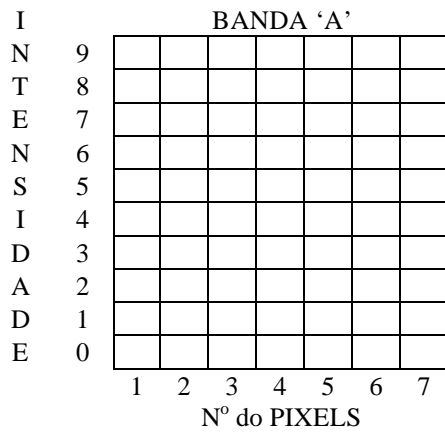
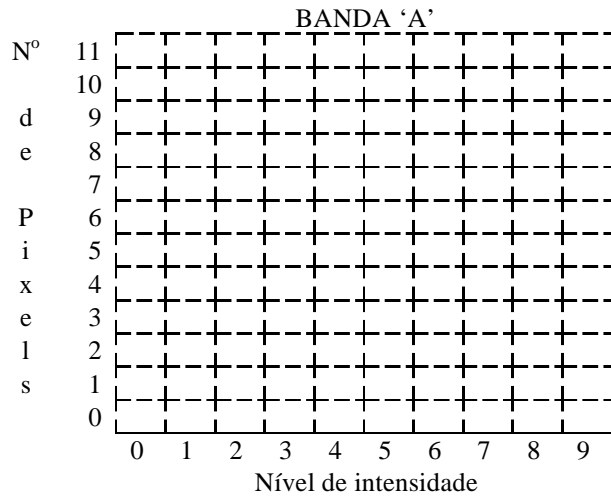


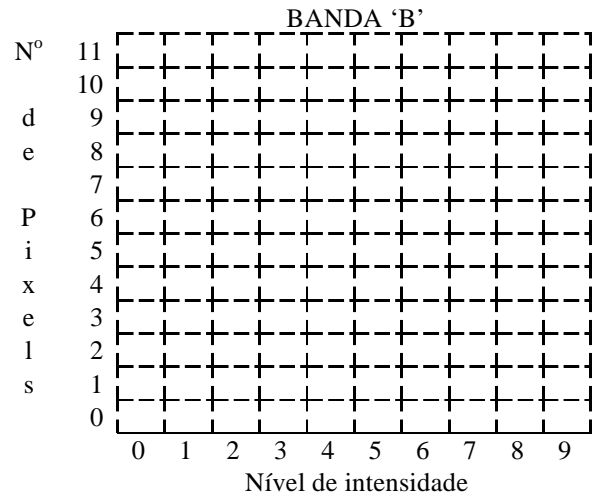
FIGURA 5
Histograma unidimensional



Número de pixels:

--	--	--	--	--	--	--	--	--	--

Soma = _____



Número de pixels:

--	--	--	--	--	--	--	--	--	--

Soma = _____

FIGURA 6
Histograma bidimensional

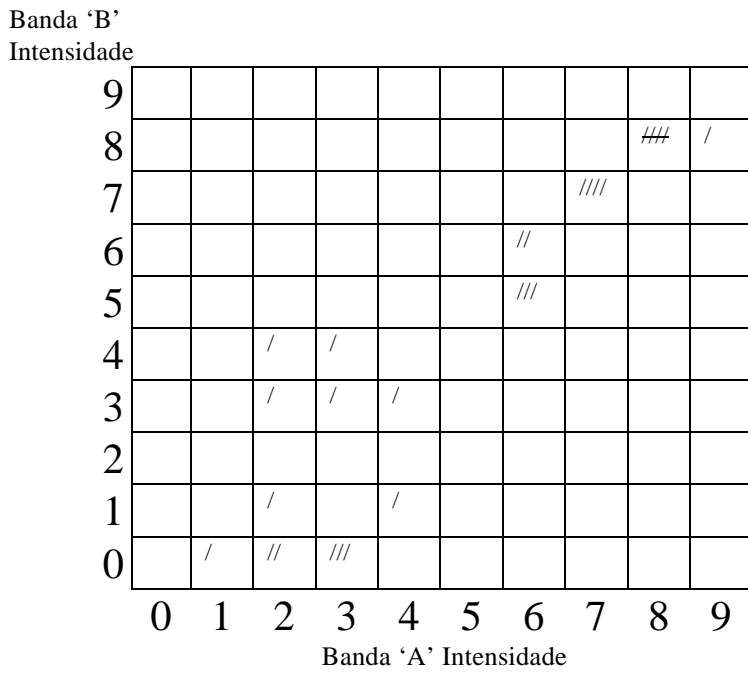


FIGURA 7
Histograma bidimensional

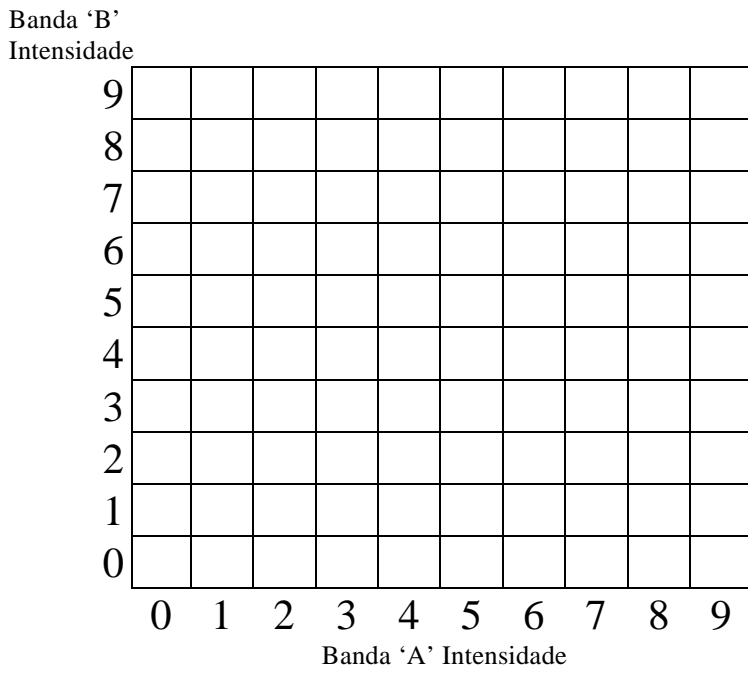


FIGURA 8

Mapa de controle no campo: 'Mata'

PIXELS

	1	2	3	4	5	6	7
L	1					F	
I	2				F		
N	3						
H	4	F					
A	5						
S	6						
7							

Níveis de intensidade da banda 'A': __, __, __

Intervalo de intensidade da banda 'A':

Mínimo: __

Máximo: __

Níveis de intensidade da banda 'B': __, __, __

Intervalo de intensidade da banda 'B':

Mínimo: __

Máximo: __

FIGURA 9A
Mapa forestal em Banda 'A'

		PIXELS						
		1	2	3	4	5	6	7
L	1							
I	2							
N	3							
H	4							
A	5							
S	6							
	7							

FIGURA 9B
Mapa florestal em Banda 'B'

		PIXELS						
		1	2	3	4	5	6	7
L	1							
I	2							
N	3							
H	4							
A	5							
S	6							
	7							

FIGURA 11A
 Mapa de controle no campo: tipo de mata

		PIXELS						
		1	2	3	4	5	6	7
L	1	D			D	D	D	D
I	2		C				D	
N	3	C	C		D			
H	4	C	C					
A	5	C						
S	6	C						
	7	C						

'C' = coníferas
 'D' = caducifólias

FIGURA 11B
 Identificação dos tipos de mata no espaço espectral

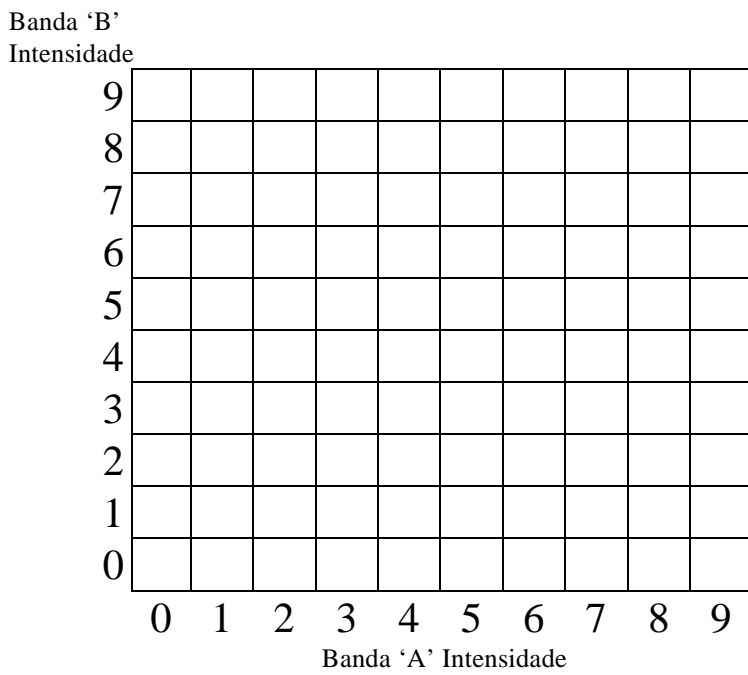


FIGURA 12A
Cena #2, Banda 'A'

		PIXELS						
		1	2	3	4	5	6	7
L	1	3	4	1	1	2	2	2
I	2	4	4	4	2	1	2	2
N	3	3	3	5	2	2	2	2
H	4	5	5	2	2	2	2	2
A	5	4	5	5	2	2	2	2
S	6	4	3	3	4	4	5	5
	7	5	5	3	4	4	5	4

FIGURA 12B
Cena #2, Banda 'B'

		PIXELS						
		1	2	3	4	5	6	7
L	1	7	7	0	0	0	3	3
I	2	7	7	6	0	0	3	4
N	3	4	4	7	1	1	3	4
H	4	7	7	4	4	3	4	4
A	5	6	7	7	4	5	5	5
S	6	7	5	5	5	7	7	6
	7	7	6	6	7	7	7	7

FIGURA 12C
Cena #2, Espaço espectral

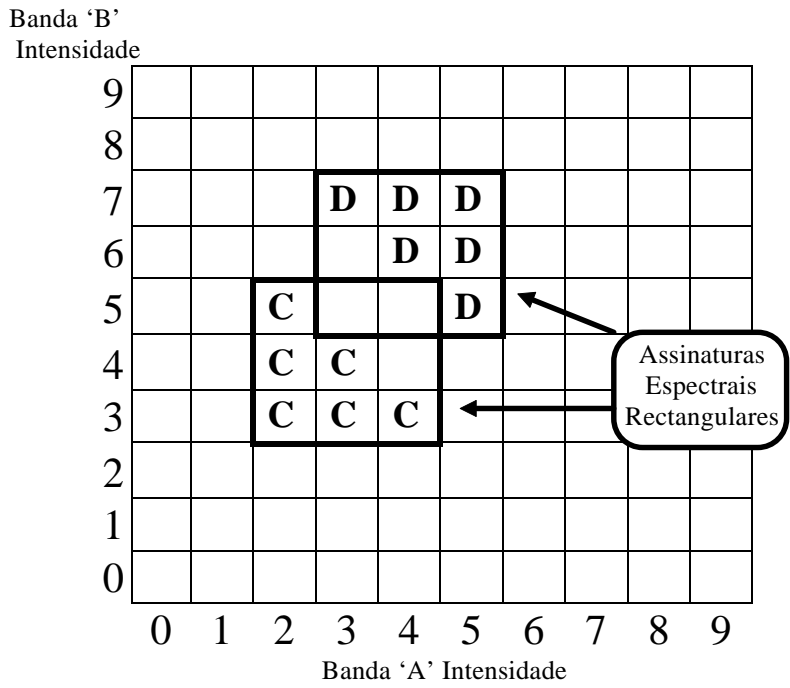


FIGURA 12D
Cena #2, Theme Map xxx

		PIXELS						
		1	2	3	4	5	6	7
L	1							
I	2							
N	3							
H	4							
A	5	D	D	D	C	C	C	C
S	6	D				D	D	D
	7	D	D		D	D	D	D

'C' = coníferas
'D' = caducifólias

FIGURA 13A
Cena #2, Banda 'B', Histograma unidimensional

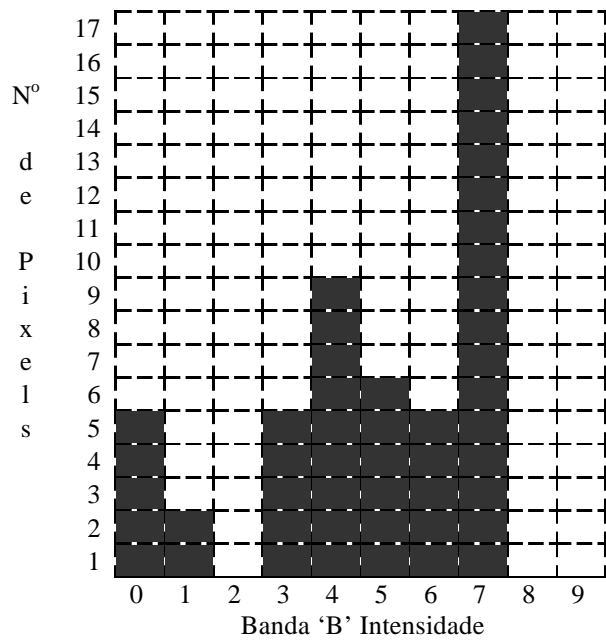


FIGURA 13B
Cena #2, Histograma bidimensional.

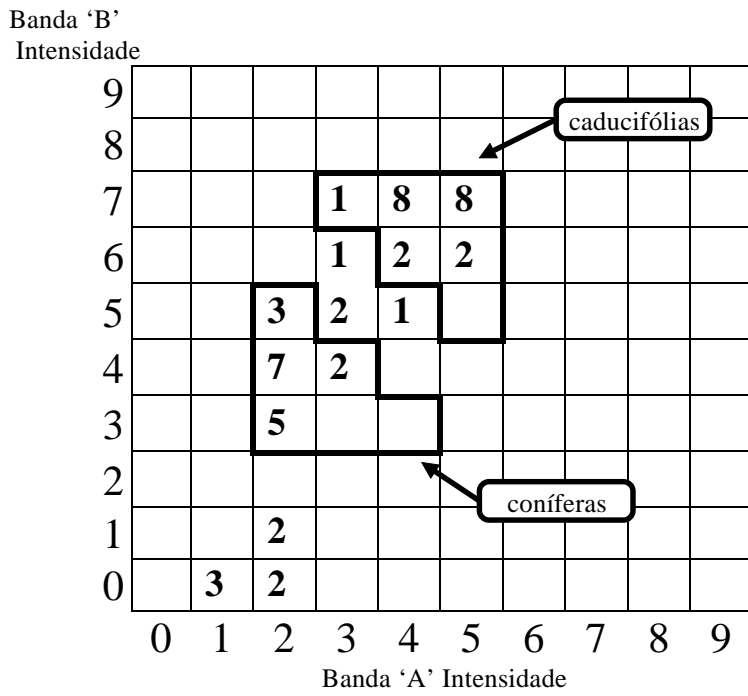


FIGURA 14A
Cena #2, Espaço espectral

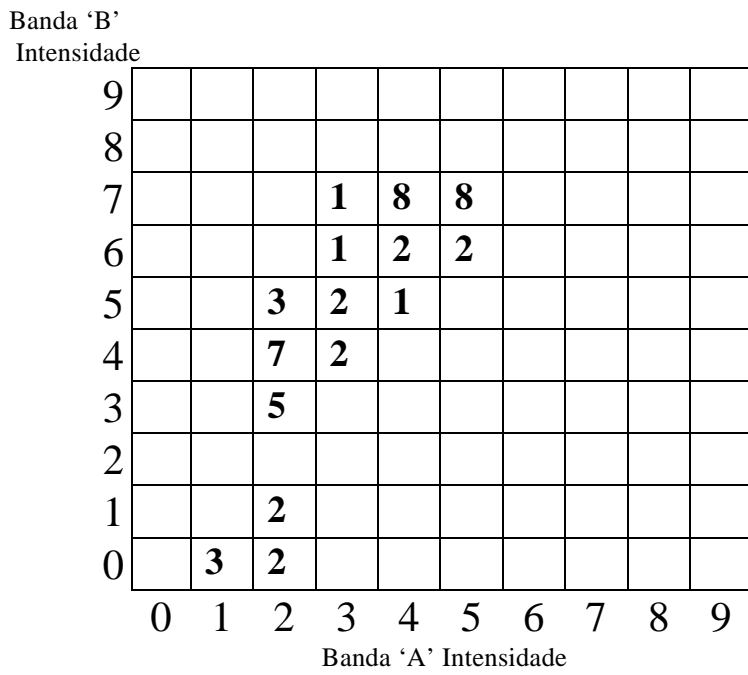


FIGURA 14B
Cena #2, Espaço espectral

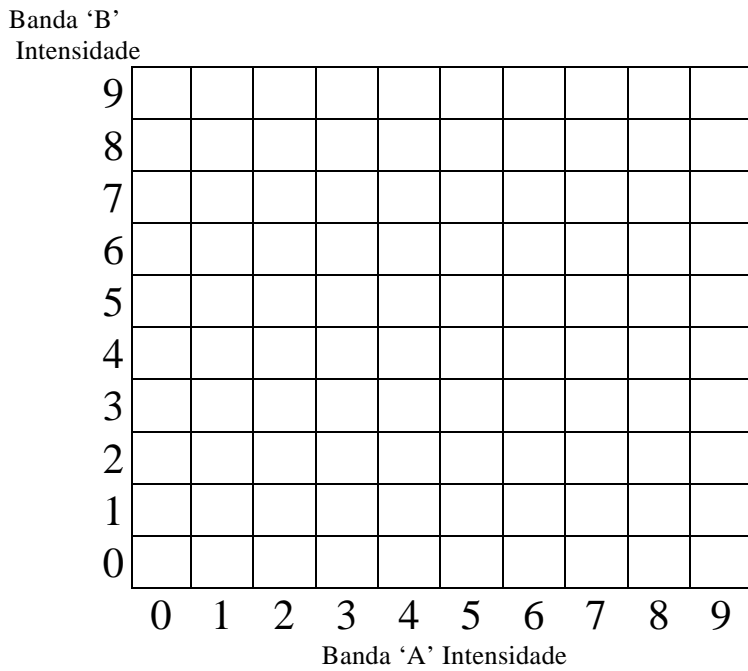


FIGURA 14C
Cena #2, Espaço espectral.

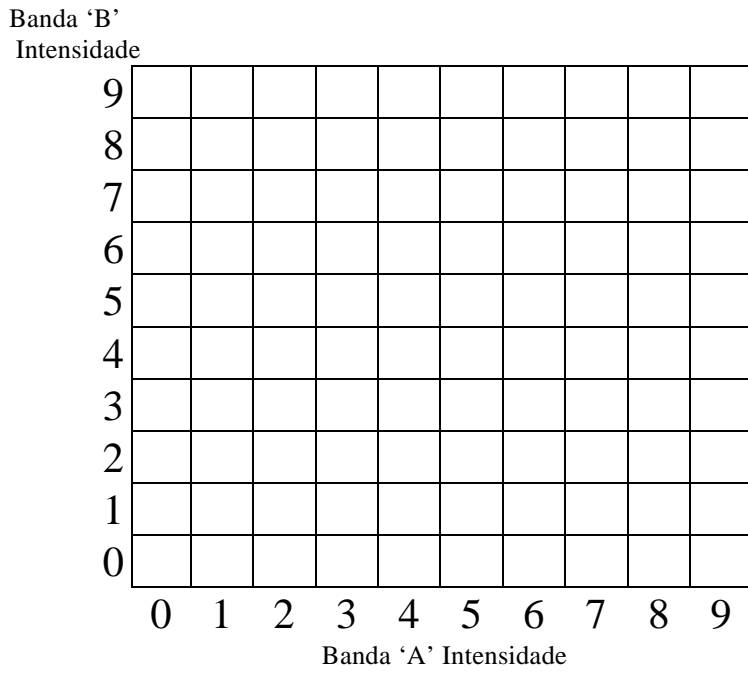


FIGURA 14D
Cena #2, Classificação nao supervisionada

